Thesis

受容体ノックアウトマウスを活用したエストロゲンの 初期卵巣作用に関する検討

埼玉医科大学ゲノム医学研究センター遺伝子情報制御部門医学研究科 生物・医学研究系専攻 博士課程4年 大羽 沙弥佳

Analysis of Estrogen Signaling on Early Ovarian Function Utilizing ER α and ER β KO Mice Sayaka Ohba (Division of Gene Regulation and Signal Transduction, Research Center for Genomic Medicine, Saitama Medical University, 1397-1 Yamane, Hidaka, Saitama 350-1241, Japan)

女性ホルモンであるエストロゲンは、幅広い生物種で生殖器の形成過程、二次性徴の成長に不可欠である。その生理機能は、2種類のエストロゲンレセプター ($\operatorname{ER}\alpha$ と $\operatorname{ER}\beta$) を介し下流応答遺伝子群の転写を制御することで引き起こされる。 $\operatorname{ER}\alpha$ および $\operatorname{ER}\beta$ は、各臓器での発現パターンの違いやノックアウト (KO) マウスにおける卵巣の表現型からも異なる機能を有すると想定されているが、その機能は未だ不明な点が多い。

本研究では、ほ乳類におけるエストロゲンの卵巣作用に関する機能解析を行うために、受容体ノックアウトマウス $\mathrm{ER}\,\alpha$ KO および $\mathrm{ER}\,\beta$ KO マウスを活用し、特にエストロゲンシグナルと初期卵巣作用に重点を置き研究を行った。 $\mathrm{ER}\,\alpha$ KO マウス卵巣では、未成熟 3 週齢卵巣において、顆粒膜細胞の TUNEL 陽性細胞の減少,Caspase-3 の発現局在の変化および cyclin D2 の発現減少が観察されたが,生後 6 日齢(P6 齢)マウス卵巣では cyclin D2 の発現や局在に変化がなかった。一方, $\mathrm{ER}\,\beta$ KO マウス卵巣では,生殖細胞増殖因子 c-kit 抗体による免疫染色を指標とした生殖細胞数の変化を検討した結果,P6 齢卵巣において c-kit 陽性細胞が有意に増加していた。さらに,P6 齢雌マウスにエストロゲン付加した際の c-kit mRNA の発現を検討した結果,エストロゲン投与 6 時間後に,c-kit の mRNA 量が減少していることを確認した。以上の結果から,エストロゲンの初期卵巣作用に関し, $\mathrm{ER}\,\alpha$ は,KO マウス 3 週齢卵巣におけるアポトーシスの抑制と細胞増殖の減少に,直接または間接的に関与していることが示唆された。 $\mathrm{ER}\,\beta$ は,出生前後の時期に原始生殖細胞の増殖を抑制する方向で,生殖細胞数を制御している可能性が示唆された。

Keywords: エストロゲン, $ER\alpha$, $ER\beta$, 卵巣機能, アポトーシス, 細胞増殖

緒言

エストロゲンは、多様な臓器で様々な機能を有し、生殖機能においても重要なステロイドホルモンであり、女性・男性ともに生殖器官や配偶子の分化、形成および二次性徴に関与すると考えられている¹⁾. その生理作用は、エストロゲンレセプター (ER) を介して下流応答遺伝子群の転写を制御するgenomicな作用とERを介さないnon-genomicな作用が存在する²⁾. ヒト医学博士 平成18年10月30日 (埼玉医科大学)

やマウスなど哺乳類のERには、遺伝子配列、タンパク質の構造およびリガンド結合能などが異なる $\mathrm{ER}\,\alpha$ と $\mathrm{ER}\,\beta$ の2種類があり、転写制御機構、各臓器における発現パターンの比較から $\mathrm{ER}\,\alpha$ および $\mathrm{ER}\,\beta$ で独立の機能があることが想定される³³.

雌性生殖器である卵巣の主な働きは、エストロゲンの産生と分泌、ならびに、卵子の形成と成熟である. その双方に関わる卵胞は、生殖細胞である卵子を体細胞である顆粒膜細胞と莢膜細胞が取り囲む構造で、自らの発育とともに卵子を成熟させ、性ステロイドホル

T64 大羽 沙弥佳

モンの産生を行うと考えられている $^{4.5}$. マウスの始原生殖細胞 (PGC) は,交尾後 $^{7.0}$ 日になると体細胞から分化し,交尾後 $^{11.0}$ から $^{11.5}$ 日までに増殖を繰り返しながら卵巣原基に移動し,交尾後 $^{13.5}$ 日には減数分裂を開始して卵母細胞となる 6 . 生殖細胞を欠く自然発症の変異マウスの解析により,Steel (SI) に位置する幹細胞因子 (SCF) $^{7.8}$,および 8 が $^{10.11}$ に位置することが示されている $^{10.11}$.

卵胞発育段階と組織構造変化における定義について、以下に説明する.原始卵胞では、卵母細胞が平坦な一層の上皮細胞で囲まれている.この上皮細胞が立方化し顆粒膜細胞になると一次卵胞、顆粒膜細胞が数層になりその外側に基底膜を介して間葉系細胞から分化した莢膜細胞が形成されると二次卵胞、その顆粒膜細胞層に卵胞腔が形成されると胞状卵胞、さらに卵丘が形成されると成熟卵胞となる.原始卵胞から二次卵胞までは性腺刺激ホルモン非依存的に発育し、胞状卵胞以降は性腺刺激ホルモン依存的に発育すると考えられている.マウスでは交尾後11日(胎生10日)にはERの転写が確認され¹²⁾、ラットでは生後12日以降にエストロゲンの産生が増加し始めるため、生後12日以前には胞状卵胞が確認されない¹³⁾.

エストロゲンは、古くから細胞増殖に関与している ことが知られている. ERαを発現するヒト乳腺ガン 細胞株 MCF7^{14, 15)} ではエストロゲンを添加することに より細胞増殖が促進する16. この細胞においてエス トロゲンは、 $ER\alpha$ を介してcyclin D1の発現を亢進し 細胞周期を進め¹⁷⁾,最近では,ERαの下流応答遺伝子 であるEfpが細胞周期進行の抑制因子である $14-3-3\sigma$ を標的とするユビキチンリガーゼとして作用し¹⁸⁾,乳 ガン細胞の増殖を制御していることが報告されてい る. 生体においても, Efpノックアウト (KO) マウスで, 子宮内膜上皮組織におけるエストロゲンへの応答性お よび細胞増殖能の低下が示されており $^{19)}$, ER α を介 するシグナルがガン細胞株でも生体でも細胞増殖と密 接に関与していることが考えられる. また、細胞増殖 の観点から成長因子とエストロゲン作用に関しては. 生体の子宮上皮組織において, インスリン様成長因子 1 (IGF-1) の発現がエストロゲンにより調節を受ける ことが報告されている200.

一方, エストロゲンとアポトーシスとの関与について, 卵巣摘除 E2 処理ラットでは, 脳下垂体前葉細胞でのアポトーシスの増加²¹⁾, 心筋組織でのアポトーシス関連遺伝子 Caspase-3の抑制が報告されている²²⁾. また, 培養系においても, ラット胎児心筋由来細胞株 H9c2で, エストロゲンが Aktを介して酸化ストレスに誘導されるアポトーシスを抑制することが示唆されている²³⁾. このように, エストロゲンは, アポトーシス増進にも抑制にも関与することが想定されている.

ER α を介するエストロゲンシグナルと卵巣作用に関連して、1993年にLubahnらによりER α KOマウスが作製され、その卵巣には黄体が存在せず、血胞や嚢胞が存在し不妊であった²⁴⁾. さらに解析が進展しER α KOマウスは、排卵に障害を持ち²⁵⁾、血中のエストロゲン濃度²⁶⁾、血中における黄体形成ホルモン(LH) 濃度が上昇していることがわかった²⁷⁾. 加えて、ER α KO 雌マウスにおいて、腹腔内注射による性腺刺激ホルモン刺激ホルモンアンタゴニストである Antide 処理を行い、血中のLH 濃度を野生型レベルまで低下させると、卵巣で確認された血胞や嚢胞が減少することが示され²⁷⁾、その表現型は卵巣よりむしろ視床下部脳下垂体でのER α 欠損に起因するLHの慢性刺激による可能性も示唆されている²⁸⁾.

 $ER\beta$ を介するエストロゲンシグナルと卵巣作用に関連して、1998年にKregeらにより $ER\beta$ KOマウスが作製され、その卵巣において成熟卵胞数が減少し、排卵数および産仔数が顕著に減少すると報告されている 29 . $ER\beta$ KOマウス卵巣において確認される成熟卵胞の減少は、アンドロゲンレセプター (AR) アンタゴニストである Fultamide 処理により部分的に改善されるため、 $ER\beta$ が卵巣および卵胞における ARの発現を制御する可能性が示唆されている 30 .

これまでに、哺乳類の卵子および卵巣において $ER\alpha$ は、卵胞形成、排卵、および黄体形成 25 、他方 $ER\beta$ は、顆粒膜細胞分化、正常な卵胞形成および性腺刺激ホルモンへの排卵応答に重要であると報告されているが 31 、これらは性周期獲得後の成熟マウスでの作用である.

本研究では、未知のエストロゲンシグナルの初期卵巣作用を検討するため、生後6日齢 (P6齢)、3週齢および6週齢の $\mathrm{ER}\,\alpha$ および $\mathrm{ER}\,\beta$ KOマウスを用い、卵巣における形態的変化が起きる前、または起き始める時期にさかのぼり、特に細胞増殖とアポトーシスの観点から、 $\mathrm{ER}\,\alpha$ および $\mathrm{ER}\,\beta$ の機能を検討した.

材料と方法

動物

遺伝子改変マウスの使用および管理に関しては,遺伝子組換え生物等の規則による生物多様性の確保に関する法律の基づき,埼玉医科大学組換えDNA 委員会および実験動物使用に関する指針に従って審査され,承認を受けて施行した。 $ER\alpha$ KO, $ER\beta$ KOマウス (Taconic, USA) は実験動物施設津久井講師より供与いただき,C57BL/6Nは日本クレアより購入し,生後6日齢 (P6 齢),3週齢および6週齢で卵巣を採取した。また,偽妊娠マウスにはICRマウス(日本クレア)を使用した。P6 齢の野生型マウスを得るために体外受精およびE 移植を行った。9週齢以上の雌E C57E L/6E Nマウスに7.5 E IUの妊馬血清性性腺刺激ホル

モン (PMSG: セロトロピン: 帝国臓器) を投与し, 48 時間後, 7.5 IUのヒト絨毛性性腺刺激ホルモン (hCG: ゴナトロピン: 帝国臓器) を投与した. hCG 投与12時 間後、雄 C57BL/6Nマウスの精巣上体尾部から精子を 採取し体外受精用培地TYH 32)にて、インキュベーター (二酸化炭素 5%, 37°C) で1時間半培養した. hCG 投 与 13.5~15 時間後, C57BL/6N 雌マウスの卵管膨大部 より卵子を採取しTYHにて媒精後、インキュベーター で培養した. 媒精4~6時間後, 受精卵に付着している 卵丘細胞を除去するため0.3 mg/mlのヒアルロニダー ゼ (SIGMA, USA) で処理後,胚培養用培地 kSOM³³⁾ に てインキュベーターで2細胞期から4細胞期まで培養 した. 次に、精管結紮した雄 ICRマウスと発情期の雌 ICRマウスを自然交配させ、翌日に膣栓を確認し偽妊 娠マウスを用意し、偽妊娠マウスの卵管膨大部に2細 胞期から4細胞期の胚を20~24個移植した. さらに, 体外受精および胚移植により得た雌産仔に 2 µg/g 体 重または $20 \mu g/g$ 体重となるように 17β -estradiol (E2: SIGMA, USA)をオリーブオイルで希釈して、P6齢雌 マウスの背側に皮下注射し、6時間後に卵巣を採取 した.

切片

3週齢および6週齢卵巣はパラフィン, P6齢卵巣は OTCコンパウンド (サクラファインテックジャパン) で包埋処理した. パラフィン切片の固定は,リン酸緩衝 溶液 (PBS) 調整した4℃の4%パラフォルムアルデヒ ド/PBS (PFA: Sigma, USA)で採取した卵巣を一晩固定、 PBSで3回すすぎ50%~100% (無水) エタノールで各6 時間以上ずつ浸して脱水した. パラフィン処理は、キ シレンに浸し30分間透徹、キシレンパラフィン混合 液 (1:1) 1回, パラフィン2回, 65℃ にて各1時間ずつ 浸し、パラフィンで包埋した. パラフィンブロックを ミクロトーム (大和光機)で10μmに薄切りし、滅菌水 を滴下した顕微鏡用スライドガラス (Fisher scientific, USA) に乗せ、伸展器 (42°C) でパラフィンを伸展後、 37℃で一晩乾燥させた. 凍結切片は、採取した卵巣を 4℃の4% PFA/PBSで30分間固定, 4℃の25% スクロー ス/PBSに1時間浸し、OTCコンパウンド内で凍させ、 クリオスタット (LEICA, Germany) で10 μmに薄切り し,顕微鏡用スライドガラスに貼り付けた.

ヘマトキシリン・エオジン (HE) 染色

TUNEL染色

パラフィン切片の前処理は、キシレンを用いてパラ

フィンを除去し、100~50% エタノールおよびPBSで水和させ、37℃の20 µg/ml protenase K/PBS (SIGMA, USA) で30分間処理して組織を浸透化、0.3% 過酸化水素メタノールに30分間浸して内在性ペルオキシダーゼを不活化した。TUNEL染色は、*In Situ* Cell Death Detection Kit, AP (Roche, Switzerland) を使用し、50 µlのTUNEL反応液で37℃にて1時間反応、10% 正常ヒツジ血清/PBSでブロッキング、50 µlのコンバーターAP (アルカリフォスファターゼ) で37℃にて30分間反応させたのち、5-ブロモ-4-クロロ-3-インドリルリン酸/ニトロブルーテトラトゾリウム塩発色基質液 (NBT/BCIP: Roche, Switzerland) で発色させた.

免疫染色

パラフィン切片の前処理は、キシレンを用いてパラフィンを除去し、100~50%エタノールおよびPBSで水和させ、0.03%トリプシン/PBSで30分間、100℃の0.1 Mクエン酸緩衝液 (SSC: pH 6)で5分間浸透化処理を行い、0.3% 過酸化水素メタノールに30分間浸し内在性ペルオキシダーゼを不活化したのち、10%正常ヤギ血清/PBSで60分間ブロッキングした。Caspase-3およびcyclin D2の免疫染色は、一次抗体としてCaspase-3 (Asp175: Cell Signaling, USA)を200:1、cyclin D2 (M-20: Santa Cruz, USA)を500:1で1時間反応させ、二次抗体としてVECTASTAIN ABCはは(VECTOR, USA)を使用してビオチン標識抗ウサギ抗体で30分間反応させ、ABC試薬で30分間アビジンシグナルを増幅し、ジアミノベンチジン (DAB: KPL, USA)で染色した.

凍結切片の前処理は、PBSに10分間浸して水和させ、4% PFA/PBSで10分間固定したのち、0.1 M SSC (pH 6) 100℃で5分間浸透化処理を行い、0.3% 過酸化水素メタノールに30分間浸し内在性ペルオキシダーゼを不活化し、cyclin D2は10% 正常ヤギ血清 /PBS、c-kit (M-14: Santa Cruz, USA) は10%正常ウサギ血清 /PBSで60分間ブロッキングした。cyclin D2およびc-kitの免疫染色は、一次抗体としてcyclin D2を500:1、c-kitを800:1で1時間反応させ、二次抗体としてVECTASTAIN ABC kit を使用してcyclin D2はビオチン標識抗ウサギ抗体、c-kitはビオチン標識抗ヤギ抗体で30分間反応させ、ABC 試薬で30分間アビジンシグナルを増強し、DABで染色した。

In Situ Hybridization (ISH)

ジゴキシゲニン (Dig) 抗体を使用し、常法である ノンRI *in situ* ハイブリダイゼーションマニュアルに 従って行った (Roche, Switzerland). ハイブリダイゼー ションの前処理は、凍結切片をPBSに10分間浸して水 和させ、4% PFA/PBSで10分間固定後、0.1% Tween20 を含むPBS (PBT) で調整した1 µg/ml protenase Kで10 分間浸透化、2 mg/mlグリシン/PBT1回、PBT2回で 反応を止め洗浄、4% PFA/PBTで再び固定、65℃で1 T66 大羽 沙弥佳

時間プレハイブリした. ハイブリダイゼーションは, マウス c-kit: (GeneaBank accession #; NM_0210099.2) の1051から1511 bpの領域をプローブとし,65℃で一晩行った. 洗浄および c-kitの検出は,洗浄溶液 1 (50% フォルムアミド,2.5×SSC,1% SDS),洗浄溶液 3 (50% フォルムアミド,1×SSC),65℃でスライドを洗浄,0.1% Tween20を含むトリス塩酸緩衝液(TBST)に 30 分間浸漬し,10% 正常ヒツジ血清 /TBSTで1時間ブロッキングしたのち,アルカリフォスファターゼ(AP)- 抗 Dig 抗体で一晩反応させた. さらに,TBSTでスライドを洗浄,NBT/BCIPで発色させた.

結 果

$\mathbf{ER}\alpha\mathbf{KO}$ および $\mathbf{ER}\beta\mathbf{KO}$ マウスの卵巣における形態的変化

卵巣におけるエストロゲンシグナルの作用を解 析するため、Lubahnらにより1993年に作製された ER α KO²⁴⁾ および Krege らにより 1998 年に作製された $ER\beta KO^{29}$ を使用した. 6週齢卵巣のHE染色により, Lubahn, Kregeらの報告と同様にERαKO, ERβKO ともに野生型マウスと異なった形態を示しているこ とが確認できた. 野生型マウス卵巣では、原始卵胞か ら成熟卵胞まで様々な段階の卵胞が存在し、排卵後 に形成される黄体も確認できた (Fig. 1A). $ER \alpha KO$ マウス卵巣では、黄体が存在せず血胞 (矢印) や嚢胞 (アスタリスク)が存在し、顆粒膜細胞の層が薄く、顆 粒膜細胞間の接着性が弱まっていることを観察した (Fig. 1B). $ER\beta$ KOマウス卵巣では、卵胞数が増加傾 向にあるが、成熟卵胞がほとんど確認できなかった (Fig. 1C). $ER\alpha$ KO および $ER\beta$ KO で異なる表現型を 示すことから、卵巣における $ER\alpha$ および $ER\beta$ の機能 も異なっている可能性があり、形態的変化が起こり始 める時期にさかのぼって卵巣における遺伝子発現の変 化を検討した.

ERαKOマウス卵巣における顆粒膜細胞の減少

Fig. 1Bの結果を受け,顆粒膜細胞の層が薄く,細胞接着性が弱まっている原因として,1)アポトーシスを起こし顆粒膜細胞数が減少し,質的に変化した,または2)細胞増殖が阻害され顆粒膜細胞数が減少し,細胞増殖に障害を生じた可能性が考えられた.そこで,顆粒膜細胞の減少を検討するため,卵巣中に卵胞が多数存在し,顆粒膜細胞が観察しやすい3週齢マウスの卵巣において,アポトーシス検出と細胞増殖マーカーによる免疫染色を行った.

アポトーシスを検出するため、TUNEL染色および Caspase-3免疫染色を行った。TUNEL染色の結果、野生型マウス卵巣ではアポトーシス陽性細胞が検出されたが (Fig. 2A)、 $\mathrm{ER}\,\alpha\,\mathrm{KO}\,\mathrm{マウス卵巣}$ では検出されなかった (Fig. 2B)。Caspase-3での免疫染色の結果、野生型マウス卵巣では卵胞ごとに発現の有無がはっきり

分かれていたが (Fig. 2C), $ER \alpha$ KOマウス卵巣では局 在がなくなりほとんどの卵胞で弱い発現が確認できた (Fig. 2D).

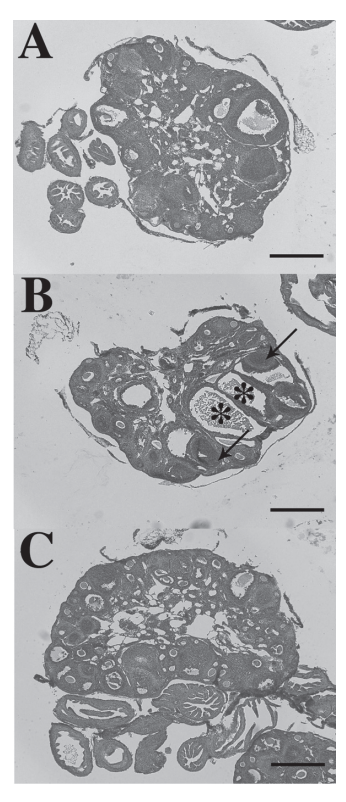


Fig. 1. 野生型, $ER\alpha$ KO および $ER\beta$ KO マウス卵巣の形態. ヘマトキシリンとエオシンで染色した成熟 6週齢卵巣の野生型 (A), $ER\alpha$ KO (B) および $ER\beta$ KO (C). 矢印は血胞, アスタリスクは嚢胞. スケールバー = 400 μ m.

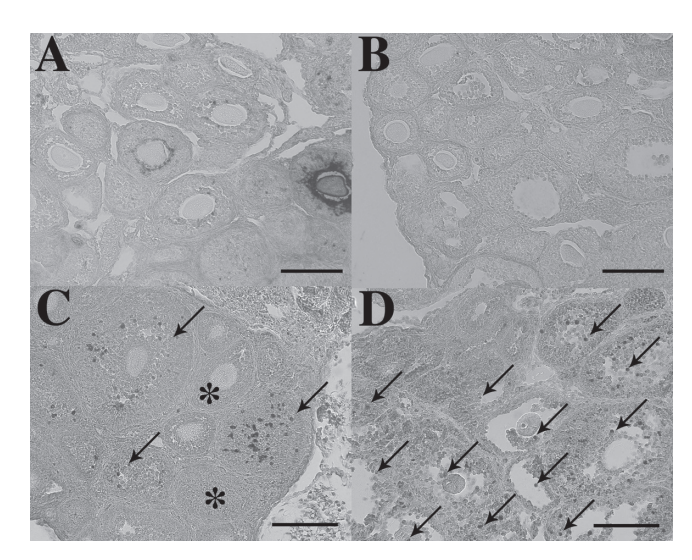


Fig. 2. 野生型および $\mathrm{ER}\,\alpha$ KOマウス卵巣における,アポトーシス細胞の検出. TUNEL染色を行った3週齢マウス卵巣の野生型 (A) および $\mathrm{ER}\,\alpha$ KO(B). Caspase-3 抗体による免疫染色を行った3週齢マウス卵巣の野生型 (C) および $\mathrm{ER}\,\alpha$ KO(D). 矢印はアポトーシス陽性卵胞,アスタリスクはアポトーシス陰性卵胞を示す. スケールバー = $100~\mu\mathrm{m}$.

また、細胞増殖の増減を検討するため、ERを発現するガン細胞 (卵巣・子宮癌) で発現が報告される cyclin D2を指標とし、免疫染色を行った。cyclin D2 の免疫染色の結果、野生型マウス卵巣では、卵巣全体、特に顆粒膜細胞で強く発現していたが (Fig. 3A)、ER α KOマウス卵巣では顆粒膜細胞での発現が顕著に減少した (Fig. 3B)。しかし、顆粒膜細胞がほとんど存在しない P6 齢マウス卵巣においては、野生型と比較して発現に変化がなかった (Fig. 3C, D)。ER β KOマウス卵巣では野生型マウス卵巣と比較して変化は確認できず (データ示さず)、これらの結果は、ER α KOマウス卵巣に特異的であった。

ERβKOマウス卵巣における卵胞数の増加

Fig. 1Cの結果を受け、卵胞数の増加を検討するため、生殖細胞を確認しやすいP6齢卵巣において、0.1 mm²あたりの生殖細胞数を野性型マウス卵巣と比較した。P6齢卵巣では卵祖細胞、卵母細胞および卵子に発現する生殖細胞増殖因子 c-kitを指標として免疫染色を行い (Fig. 4A, B)、0.1 mm²あたりに存在する生殖細胞数を野生型、ER β KOマウス卵巣で比較した (Fig. 4C)。野生型マウス卵巣と比較して、ER α KO卵巣ではc-kitを発現する生殖細胞数に変化がなかったのに対し (データ示さず)、ER β KO卵巣では有意 (**P < 0.01) に増加していた。

エストロゲン処理野生型マウス卵巣における c-kit 転写量変化

Fig. 4の結果を受け、エストロゲンシグナルと c-kit の発現制御の関連について明確にするため、ER α および ER β が発現し内在性エストロゲンの影響が少ないと考えられる P6 齢卵巣において、エストロゲン添加による c-kit mRNAの転写量の変化からエストロゲン応答性を検討した。体外受精および胚移植により同時期に得た産仔を用い、皮下に $2 \mu g/g$ または $20 \mu g/g$ の E2を投与し、6時間後採取した卵巣と無処理の卵巣で、マウス c-kit プローブを用いて ISH を行い、エストロゲンに対する c-kit の短時間での発現量変化を観察した。オリーブオイルのみを投与した対照区卵巣では、原始卵胞(矢頭)および一次卵胞(矢印)で c-kit の転写を確認できるが (Fig. 5A)、濃度に係わらず E2を投与した卵巣では、原始卵胞、一次卵胞ともに c-kit の mRNAが減少していることが観察された (Fig. 5B, C).

考察

 $ER\alpha$ KOマウス卵巣では、3週齢卵巣において、顆粒膜細胞のTUNEL陽性細胞の減少、Caspase-3の発現局在の変化が観察された (Fig. 2). 卵巣においては、Caspase-3の上流にある細胞膜結合性の受容体 Fasが、Fas-ligand と結合して顆粒膜細胞をアポトーシスに導くことが報告されている³⁴⁾. また、卵巣摘除 E2 処理ラットにおいて、脳下垂体前葉ではlipopolysaccharide

によるアポトーシス誘導に対しTUNEL陽性細胞が有意に増加したことが報告され²¹⁾、心筋では、アポトーシス制御 MAPKのp38およびアポトーシス関連遺伝子のCaspase-3の活性化が低下していることが報告されている²²⁾、また、ラット胎児心筋由来細胞株 H9c2に

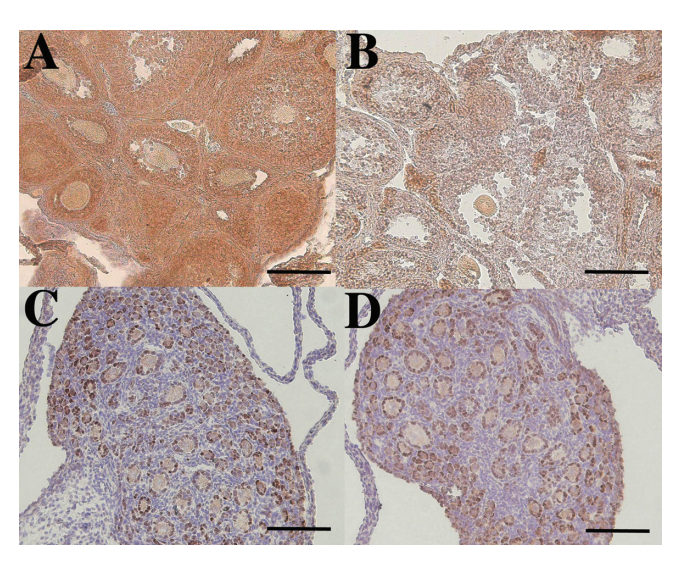
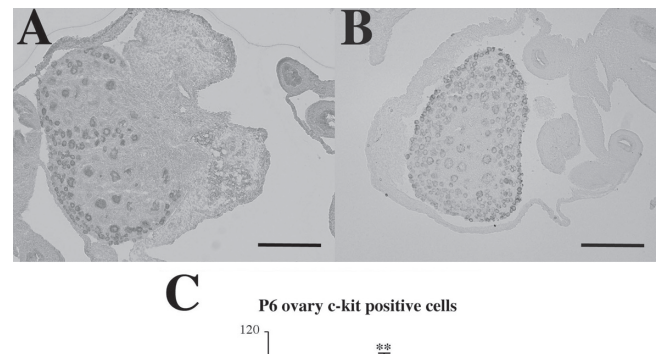


Fig. 3. 野生型および $ER \alpha$ KO マウス卵巣における cyclin D2 の局在. cyclin D2 抗体による免疫染色を行った3 週齢マウス卵巣の野生型 (A) および $ER \alpha$ KO (B), P6 齢マウス卵巣の野生型 (C) および $ER \alpha$ KO (D). スケールバー = 100 μ m.



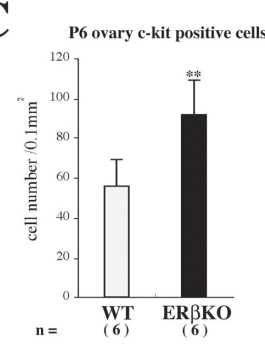


Fig. 4. 野生型および ER β KO マウス卵巣間の生殖細胞数の比較. c-kit 抗体による免疫染色をおこなった P6 齢マウス卵巣の野生型 (A) および ER β KO (B). (C) 野生型と ER β KO マウス卵巣間のc-kit 陽性細胞数の変化. 6 個体から各 1 切片を選択し、0.1 mm² あたりの c-kit 陽性細胞数を数えた. **野生型と比較して有意に増加 (P < 0.01: Excel T検定). スケールバー = 200 μm.

T68 大羽 沙弥佳

おいて、エストロゲンがAktを介して酸化ストレスに誘導されるアポトーシスを抑制すると報告されていことからも 23 、臓器によってエストロゲンによるアポトーシス作用の制御が異なることが考えられる. $ER\alpha$ KOマウス卵巣では、アポトーシスが抑制されていたことから、卵巣においては $ER\alpha$ を介したシグナルが顆粒膜細胞のアポトーシス促進に関与している可能性が考えられる.

一方、ヒト卵巣上皮ガン由来細胞株 HEYにおいて、Fasに誘導されるアポトーシスがLHにより抑制されることを示唆されており 35 、ER $_{\alpha}$ KOマウスでは、血中LHが上昇していることから 27 、ER $_{\alpha}$ の卵巣における間接的な作用として、過剰なLHがFasに誘導されるアポトーシスを抑制した可能性も考えられる.

 $ER \alpha KO$ マウス3週齢卵巣では,顆粒膜細胞における cyclin D2の発現の低下が観察された (Fig. 3A, B). また, $ER \alpha KO$ マウス P6 齢卵巣では,cyclin D2の発現に関しては,変化が確認できなかった (Fig. 3C, D). $ER \alpha KO$ マウス卵巣では,P6から3週齢までの期間で,顆粒膜細胞における cyclin D2の発現が低下したことが考えられ, $ER \alpha$ を介するシグナルは,初期卵巣に

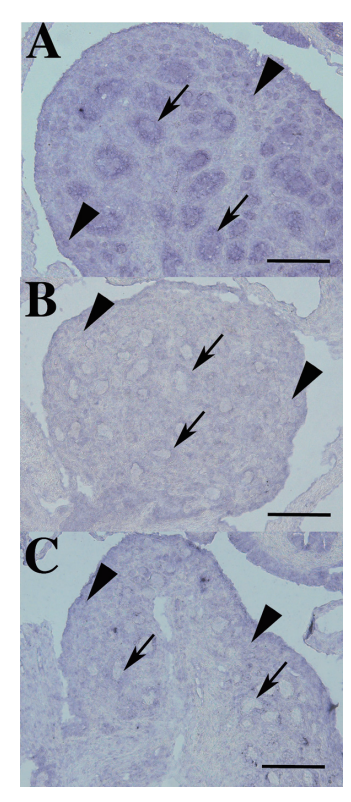


Fig. 5. P6 齢マウスにおけるエストロゲン (E2) 付加による c-kit mRNAへの影響. P6 齢マウスにE2 処理後 (2または $20 \,\mu g/g$ 体重), 6時間で卵巣を採取した. c-kit アンチセンス プローブによる *In situ* hybridization を行った P6 齢マウス卵巣のコントロール (A), E2 $2 \,\mu g/g$ (B) およびE2 $20 \,\mu g/g$ (C). 矢頭は原始卵胞, 矢印は一次卵胞. スケールバー = $100 \,\mu m$.

おいて細胞増殖に関与することが示唆された. ERα 陽性である乳ガン細胞 MCF7において、エストロゲン を添加するとcyclin D1の発現量が増加し、エストロ ゲンおよび ERアンタゴニストICI 182,780を添加する とcyclin D1の発現量増加が阻害されると報告されて おり¹⁷⁾, MCF7ではERαを介しcyclin D1の発現およ び細胞増殖を制御していると考えられる. また, Dタ イプのcyclinは3種類存在し、臓器ごとに発現分布が 異なり³⁶⁾, cyclin D2 KO マウス卵巣において FSH 刺 激への応答が低下し、顆粒膜細胞の増殖が減少し不妊 になると報告されていることから³⁷⁾, 顆粒膜細胞にお ける cyclin D2の役割が注目される。 $\mathrm{ER}\,\alpha\,\mathrm{KO}$ マウス卵 巣では、cyclin D2の発現の減少が見られたことから、 卵巣においては $ER\alpha$ を介したシグナルがcyclin D2の タンパク質合成を促進し, 顆粒膜細胞の細胞増殖に関 与している可能性が考えられる. P6齢卵巣では, エス トロゲンの産生が開始されていないため¹³⁾, ERαシ グナルの欠如によるcyclin D2発現の低下がなかった のかもしれない.

一方、卵巣においてcyclin D2は、LH刺激によりタンパク質量が減少すると報告されており $^{38)}$ 、ER α KOマウスでは、血中のLHが上昇していることから 27 、ER α の卵巣における間接的な作用として、過剰なLHがcyclin D2の発現を抑制している可能性も否定できない、マウスでは、LHの生産はP5齢に始まりP10齢までの期間に成体レベルにまで増加することが示されており $^{39)}$ 、P6齢卵巣においては、LHの分泌が微量であるため、cyclin D2の発現が変化しなかったのかもしれない。

ERβKOマウスP6齢卵巣では、c-kitを指標とする 免疫染色により生殖細胞が増加していることが観察さ れ (Fig. 4), エストロゲンの $ER\beta$ を介する初期卵巣作 用として, 生殖細胞数の制御に関与していることが示 唆された. 胎児期の卵巣においてc-kitは、生殖細胞で あるPGC, 卵祖細胞, 卵母細胞および卵子の増殖およ び生存に必須であることが示されている^{10,11)}. PGCは, SCFが細胞膜上に存在する受容体 c-kit に結合すると, Srcを刺激してAktを活性化し、アポトーシス誘導免疫 抑制薬rapamycinのターゲットであるmTORを介して 増殖すると報告されている400.また, c-kitを欠く自然 発症の変異を持つW^vホモマウスは,両性ともに生殖 細胞を欠くが、 $Fas \ge c$ -kitをともに欠くFas KO/Wが モマウスでは、4週齢で卵子や精子が観察される41). さらに、W'ホモマウスの 5,6週齢精巣では、野生型マ ウス精巣と比較してFasの転写量が多く, SCF/c-kitが Fasの発現を抑制していることが示唆された⁴¹⁾. それ 故, ERβKOマウスにおいてc-kitを発現する生殖細胞 数が増加するのは、エストロゲンのERβを介しての シグナルが、アポトーシスにより生殖細胞数の制御に 関与しているからかもしれない.

また、初期卵巣におけるエストロゲンシグナルの作用として、培養系ではマウス交尾後 10.5 日胚生殖腺由来のPGCと体細胞の共培養系において、エストロゲンが添加されると、生殖腺体細胞でSCFが産生され、PGCでAktおよびPTENが活性化し生殖細胞数が増加するとの報告がある 42 . しかし、ER β シグナルを欠いているER β KOマウスP6齢卵巣で、生殖細胞数が増加し、上記の培養系の結果とは一致しない (Fig. 4). ER β KOマウスにおける生殖細胞数の増加の原因として、ER β KOマウス卵巣ではARおよびIGF-1Rの発現が亢進すると報告されており 30 、これらの因子が生殖細胞増加に関与しているのかもしれない.

野生型マウスP6齢卵巣において、E2処理6時間後 のc-kitをプローブとするISHにより、エストロゲンが c-kitの転写を抑制していることが観察され (Fig. 5), エストロゲンの初期卵巣作用として, c-kitの発現制 御に関与していることが示唆された. 生殖細胞増殖に おいて重要であるSCFはc-kitのリガンドであり、ス テロイドホルモンによりSCF/c-kitの発現制御が存在 することが推測される. エストロゲンによるSCFの発 現制御に関して、マウス交尾後10.5日胚生殖腺由来の PGCと体細胞の共培養系において、エストロゲンが生 殖腺体細胞でSCF転写を増加させ、分泌型タンパク質 を増加すると報告されている⁴²⁾. 他にSCFの転写を制 御するものとして、培養系および ARKOマウスを利用 した研究より、アンドロゲンが ARを介してSCFの転 写を活性化しタンパク質量を増加させることが報告 されている⁴³⁾. また,エストロゲンによるc-kitの発現 制御に関して、今まで培養系および生体での報告がな く、Fig. 5の結果より新たにエストロゲンが直接 c-kit の転写を抑制する可能性が示唆された. 生殖細胞増殖 に必須であるSCF/c-kitの転写には、少なくともエス トロゲンおよびアンドロゲンが関与している可能性が あり、エストロゲンによる生殖細胞の増殖機構の解明 には, 更なる検討が必要と考えられる.

結 論

本研究では、エストロゲンシグナルの初期卵巣における作用を検討した。3週齢卵巣においては、 $ER\alpha$ もしくはLHを介したアポトーシスおよび細胞増殖が関与している可能性が考えられた。また、P6から3週齢までの期間に、cyclin D2の発現が減少したことから、正常な $ER\alpha$ の発現は成熟後の卵巣のみならず、発育段階にある未成熟な卵巣機能にも重要であることが示唆された。他方、P6齢卵巣においては、 $ER\beta$ を介したエストロゲンの作用として、卵胞発育が開始される以前において、生殖細胞のアポトーシスに関与している可能性が考えられた。 $ER\beta$ は、既知の成熟後の卵胞発育に関与する作用とは別に、出生前後の時期に生殖細胞数を制御する作用を有するかもしれない。

成熟マウスのみならず未成熟マウスの卵巣において も、 $\text{ER}\,\alpha$ および $\text{ER}\,\beta$ は異なる作用を持つことが示唆 された.

謝辞

稿を終えるにあたり、ご指導いただいた埼玉医科大学ゲノム医学研究センター村松正實所長、同センター遺伝子情報制御部門 井上聡部門長に深謝いたします。また、直接ご指導いただいた同センター実験動物施設津久井通講師に深く感謝致します。

引用文献

- 1) Couse JF, Korach KS. Estrogen receptor null mice: what have we learned and where will they lead us? Endocr Rev 1999;20:358-417.
- 2) Bjornstrom L, Sjoberg M. Mechanisms of estrogen receptor signaling: convergence of genomic and nongenomic actions on target genes. Mol Endocrinol 2005;19:833-42.
- 3) Muramatsu M, Inoue S. Estrogen receptors: how do they control reproductive and nonreproductive functions? Biochem Biophys Res Commun 2000;270:1-10.
- 4) Ryan KJ. Granulosa-thecal cell interaction in ovarian steroidogenesis. J Steroid Biochem 1979;11:799-800.
- 5) Parrott JA, Skinner MK. Thecal cell-granulosa cell interactions involve a positive feedback loop among keratinocyte growth factor, hepatocyte growth factor, and Kit ligand during ovarian follicular development. Endocrinology 1998;139;2240-5.
- 6) Hogan B, Beddington R, Costantini F, Lacy E. Manipulating the Mouse Embryo A LABORATORY MANUAL. 2nd ed. New York: Cold Spring Harbor Laboratry Press; 1994. p. 28-31.
- 7) Copeland NG, Gilbert DJ, Cho BC, Donovan PJ, Jenkins NA, Cosman D, et al. Mast cell growth factor maps near the steel locus on mouse chromosome 10 and is deleted in a number of steel alleles. Cell 1990;63:175-83.
- 8) Huang E, Nocka K, Beier DR, Chu TY, Buck J, Lahm HW, et al. The hematopoietic growth factor KL is encoded by the Sl locus and is the ligand of the c-kit receptor, the gene product of the W locus. Cell 1990;63:225-33.
- 9) Chabot B, Stephenson DA, Chapman VM, Besmer P, Bernstein A. The proto-oncogene c-kit encoding a transmembrane tyrosine kinase receptor maps to the mouse W locus. Nature 1988;335:88-9.
- 10) Godin I, Deed R, Cooke J, Zsebo K, Dexter M, Wylie CC. Effects of the steel gene product on mouse

primordial germ cells in culture. Nature 1991;352: 807-9.

- 11) Dolci S, Williams DE, Ernst MK, Resnick JL, Brannan CI, Lock LF, et al. Requirement for mast cell growth factor for primordial germ cell survival in culture. Nature 1991;352:809-11.
- 12) Greco TL, Duello TM, Gorski J. Estrogen receptors, estradiol, and diethylstilbestrol in early development: the mouse as a model for the study of estrogen receptors and estrogen sensitivity in embryonic development of male and female reproductive tracts. Endocr Rev 1993;14:59-71.
- 13) Carson R, Smith J. Development and steroidogenic activity of preantral follicles in the neonatal rat ovary. J Endocrinol 1986;110:87-92.
- 14) Greene GL, Gilna P, Waterfield M, Baker A, Hort Y, Shine J. Sequence and expression of human estrogen receptor complementary DNA. Science 1986;231:1150-4.
- 15) Green S, Walter P, Kumar V, Krust A, Bornert JM, Argos P, Chambon P. Human oestrogen receptor cDNA: sequence, expression and homology to v-erb-A. Nature 1986;320:134-9.
- 16) Katzenellenbogen BS, Kendra KL, Norman MJ, Berthois Y. Proliferation, hormonal responsiveness, and estrogen receptor content of MCF-7 human breast cancer cells grown in the short-term and long-term absence of estrogens. Cancer Res 1987; 47:4355-60.
- 17) Foster JS, Wimalasena J. Estrogen regulates activity of cyclin Dependent kinases and retinoblastoma protein phosphorylation in breast cancer cells. Mol Endocrinol 1996;10:488-98.
- 18) Urano T, Saito T, Tsukui T, Fujita M, Hosoi T, Muramatsu M, et al. Efp targets 14-3-3 sigma for proteolysis and promotes breast tumour growth. Nature 2002;417:871-5.
- 19) Orimo A, Inoue S, Minowa O, Tominaga N, Tomioka Y, Sato M, et al. Underdeveloped uterus and reduced estrogen responsiveness in mice with disruption of the estrogen-responsive finger protein gene, which is a direct target of estrogen receptor alpha. Proc Natl Acad Sci USA 1999;96:12027-32.
- 20) Kapur S, Tamada H, Dey SK, Andrews GK. Expression of insulin-like growth factor-I (IGF-I) and its receptor in the peri-implantation mouse uterus, and cell-specific regulation of IGF-I gene expression by estradiol and progesterone. Biol Reprod 1992;46: 208-19.
- 21) Pisera D, Candolfi M, Navarra S, Ferraris J,

- Zaldivar V, Jaita G, et al. Estrogens sensitize anterior pituitary gland to apoptosis. Am J Physiol Endocrinol Metab 2004;287:E767-71.
- 22) Wang M, Tsai BM, Reiger KM, Brown JW, Meldrum DR. 17-beta-Estradiol decreases p38 MAPK-mediated myocardial inflammation and dysfunction following acute ischemia. J Mol Cell Cardiol 2006;40:205-12.
- 23) Urata Y, Ihara Y, Murata H, Goto S, Koji T, Yodoi J, et al. 17Beta-estradiol protects against oxidative stress-induced cell death through the glutathione/glutaredoxin-dependent redox regulation of Akt in myocardiac H9c2 cells. J Biol Chem 2006;281: 13092-102.
- 24) Lubahn DB, Moyer JS, Golding TS, Couse JF, Korach KS, Smithies O. Alteration of reproductive function but not prenatal sexual development after insertional disruption of the mouse estrogen receptor gene. Proc Natl Acad Sci USA 1993;90: 11162-6.
- 25) Rosenfeld CS, Murray AA, Simmer G, Hufford MG, Smith MF, Spears N, et al. Gonadotropin induction of ovulation and corpus luteum formation in young estrogen receptor-alpha knockout mice. Biol Reprod 2000;62:599-605.
- 26) Couse JF, Curtis SW, Washburn TF, Lindzey J, Golding TS, Lubahn DB, et al. Analysis of transcription and estrogen insensitivity in the female mouse after targeted disruption of the estrogen receptor gene. Mol Endocrinol 1995;9:1441-54.
- 27) Couse JF, Bunch DO, Lindzey J, Schomberg DW, Korach KS. Prevention of the polycystic ovarian phenotype and characterization of ovulatory capacity in the estrogen receptor-alpha knockout mouse. Endocrinology 1999;140:5855-65.
- 28) Scully KM, Gleiberman AS, Lindzey J, Lubahn DB, Korach KS, Rosenfeld MG. Role of estrogen receptoralpha in the anterior pituitary gland. Mol Endocrinol 1997;11:674-81.
- 29) Krege JH, Hodgin JB, Couse JF, Enmark E, Warner M, Mahler JF, et al. Generation and reproductive phenotypes of mice lacking estrogen receptor beta. Proc Natl Acad Sci USA 1998;95:15677-82.
- 30) Cheng G, Weihua Z, Mäkinen S, Mäkelä S, Saji S, Warner M, et al. A role for the androgen receptor in follicular atresia of estrogen receptor beta knockout mouse ovary. Biol Reprod 2002;66:77-84.
- 31) Couse JF, Yates MM, Deroo BJ, Korach KS. Estrogen receptor-beta is critical to granulosa cell differentiation and the ovulatory response to

- gonadotropins. Endocrinology 2005;146:3247-62.
- 32)豊田裕, 横山峯介, 星冬四郎. マウス卵子の体外受精に関する研究. 家畜繁殖誌 1971;16:147-51.
- 33) Lawitts JA, Biggers JD. Cultute of Preimplantation Embryos. The Methods in Enzymology 1993;225: 153-65.
- 34) Hakuno N, Koji T, Yano T, Kobayashi N, Tsutsumi O, Taketani Y, et al. Fas/APO-1/CD95 system as a mediator of granulosa cell apoptosis in ovarian follicle atresia. Endocrinology 1996;137:1938-48.
- 35) Slot KA, de Boer-Brouwer M, Houweling M, Vaandrager AB, Dorrington JH, Teerds KJ. Luteinizing hormone inhibits Fas-induced apoptosis in ovarian surface epithelial cell lines. J Endocrinol 2006;188:227-39.
- 36) Ciemerych MA, Kenney AM, Sicinska E, Kalaszczynska I, Bronson RT, Rowitch DH, et al. Development of mice expressing a single D-type cyclin. Genes Dev 2002;16:3277-89.
- 37) Sicinski P, Donaher JL, Geng Y, Parker SB, Gardner H, Park MY, et al. Cyclin D2 is an FSH-responsive gene involved in gonadal cell proliferation and oncogenesis. Nature 1996;384:470-4.
- 38) Rebecca L. Robker and JoAnne S. Richards. Hormone-induced proliferation and differentiation of granulosa cells: A coordinated balance of the

- cell cycle regulators Cyclin D2 and p27Kip1. Mol Endocrinol 1998;12:924-40.
- 39) Halpin DM, Jones A, Fink G, Charlton HM. Postnatal ovarian follicle development in hypogonadal (hpg) and normal mice and associated changes in the hypothalamic-pituitary ovarian axis. J Reprod Fertil 1986;77:287-96.
- 40) De Miguel MP, Cheng L, Holland EC, Federspiel MJ, Donovan PJ. Dissection of the c-Kit signaling pathway in mouse primordial germ cells by retroviral-mediated gene transfer. Proc Natl Acad Sci USA 2002;99:10458-63.
- 41) Sakata S, Sakamaki K, Watanabe K, Nakamura N, Toyokuni S, Nishimune Y, et al. Involvement of death receptor Fas in germ cell degeneration in gonads of Kit-deficient Wv/Wv mutant mice. Cell Death Differ 2003;10:676-86.
- 42) Moe-Behrens GH, Klinger FG, Eskild W, Grotmol T, Haugen TB, De Felici M. Akt/PTEN signaling mediates estrogen-dependent proliferation of primordial germ cells in vitro. Mol Endocrinol 2003; 17:2630-8.
- 43) Shiina H, Matsumoto T, Sato T, Igarashi K, Miyamoto J, Takemasa S, et al. Premature ovarian failure in androgen receptor-deficient mice. Proc Natl Acad Sci USA 2006;103:224-9.